

Fig. 1

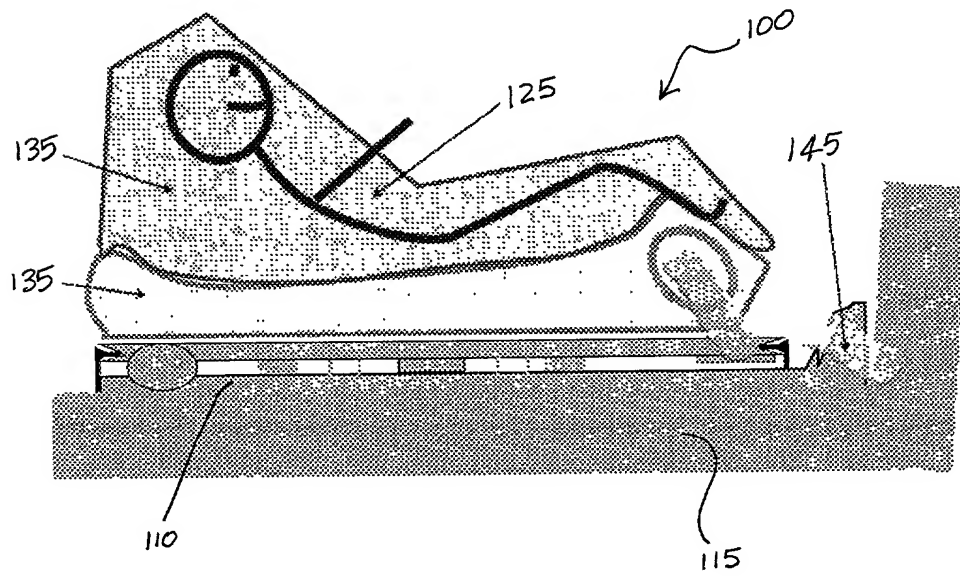
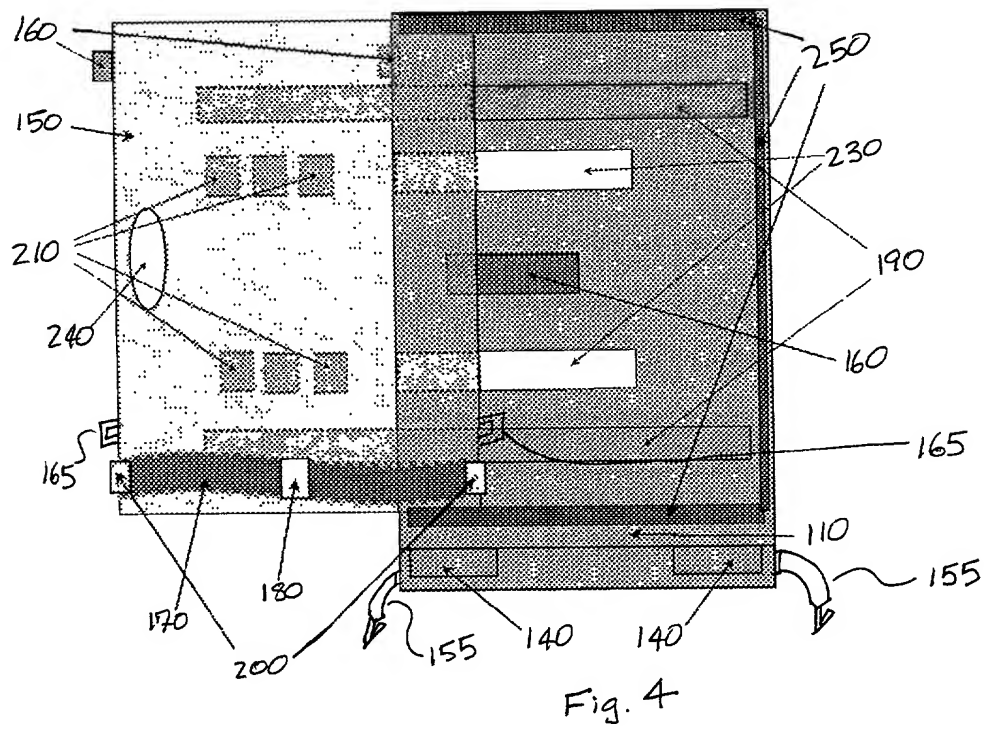
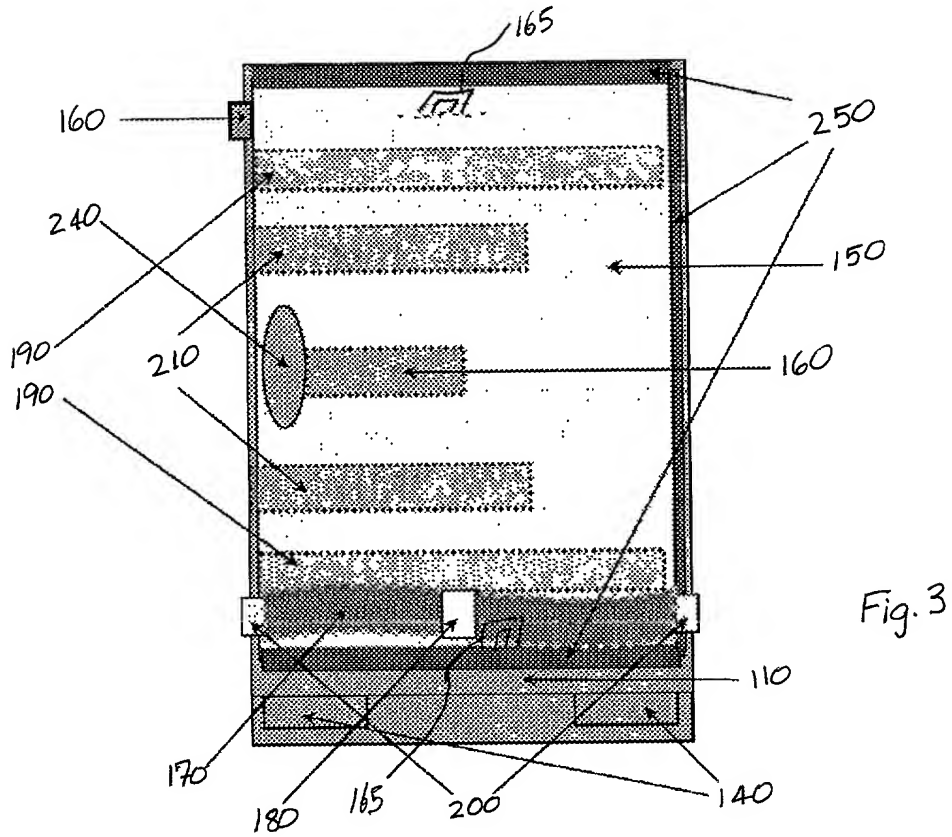


Fig. 2



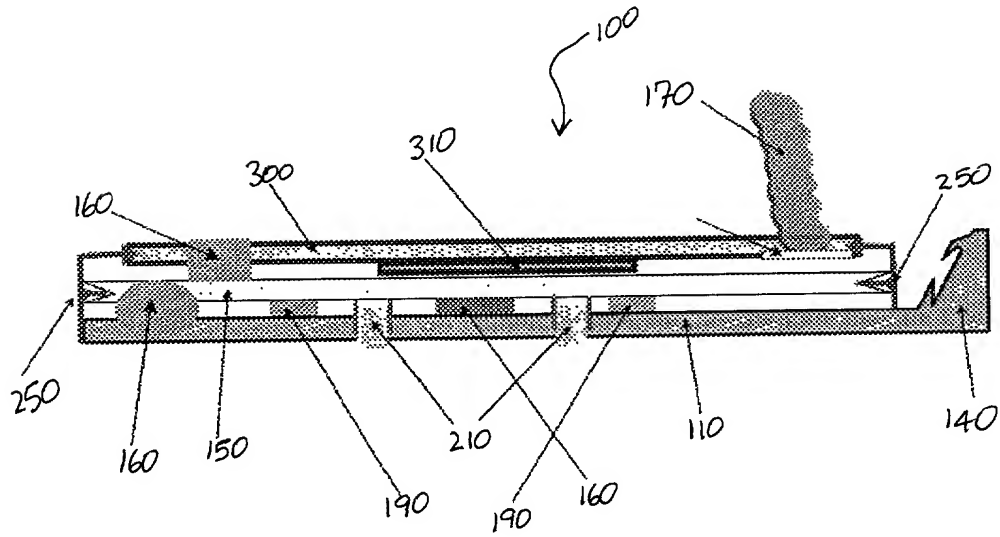


Fig. 5

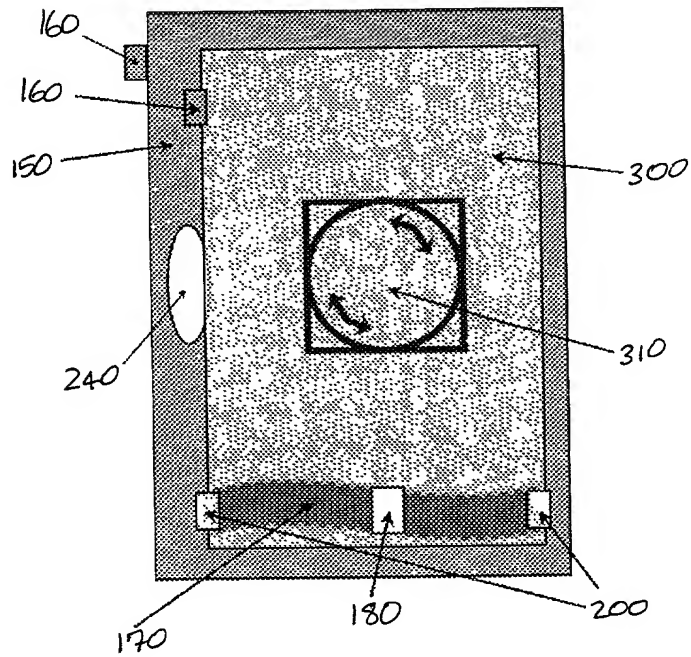
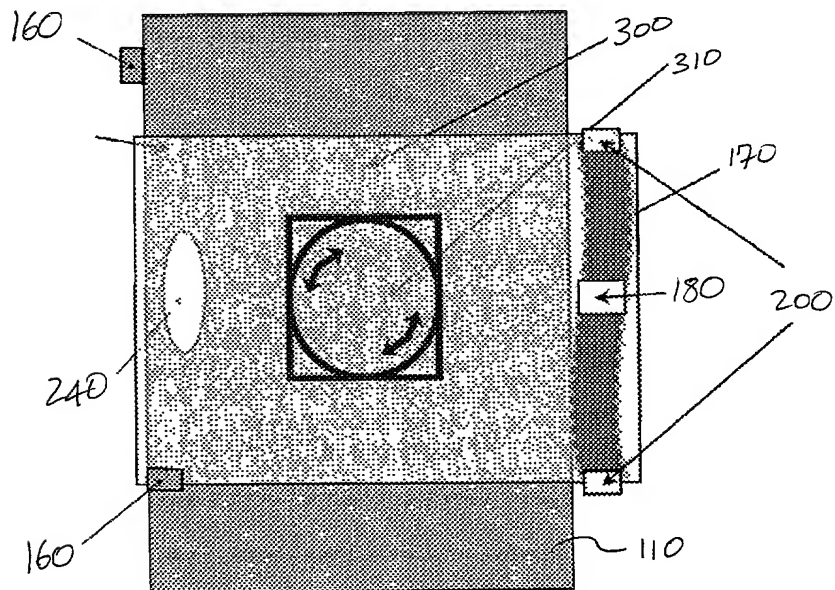
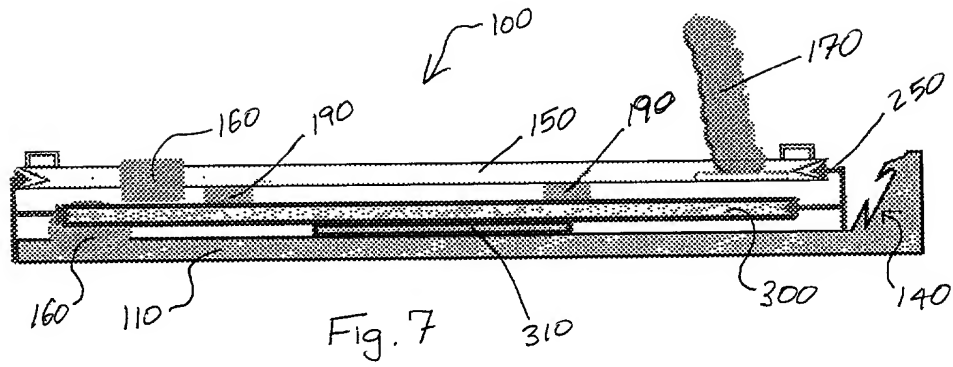


Fig. 6



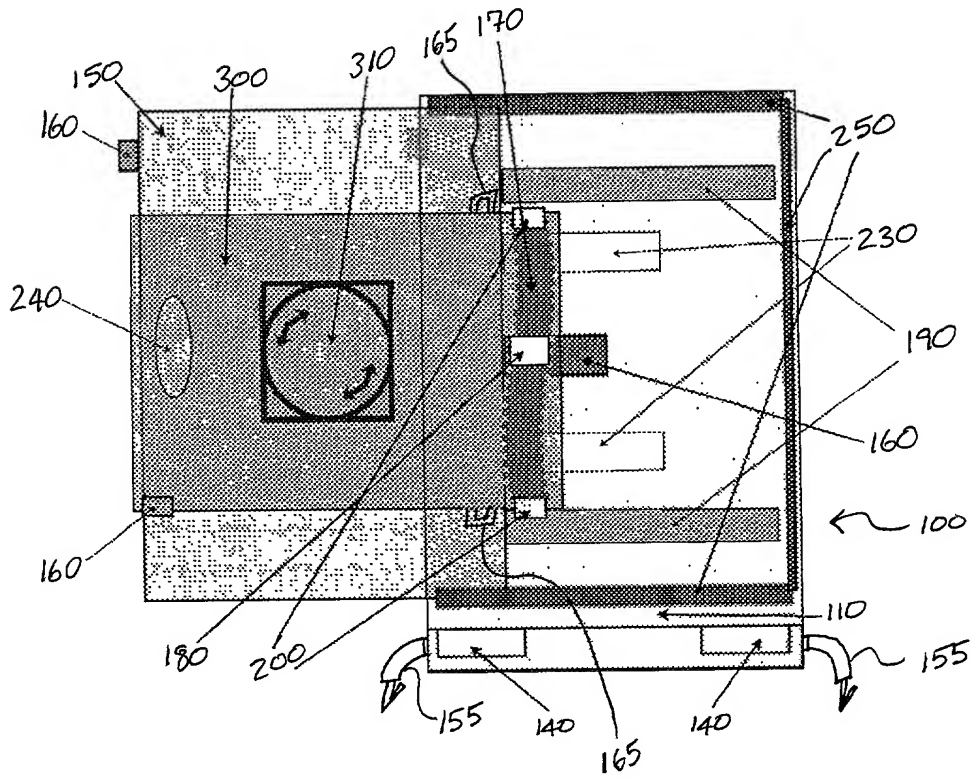
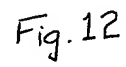
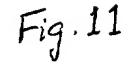
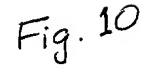


Fig. 9



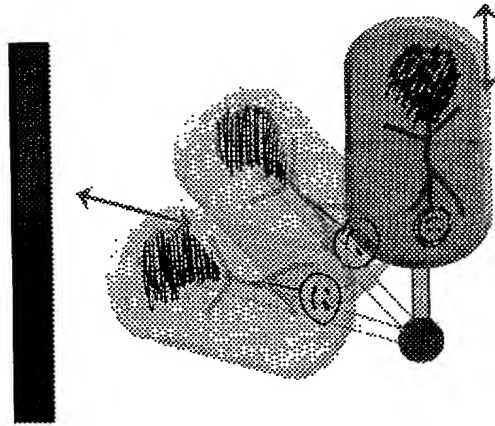


Fig. 13
PRIOR ART

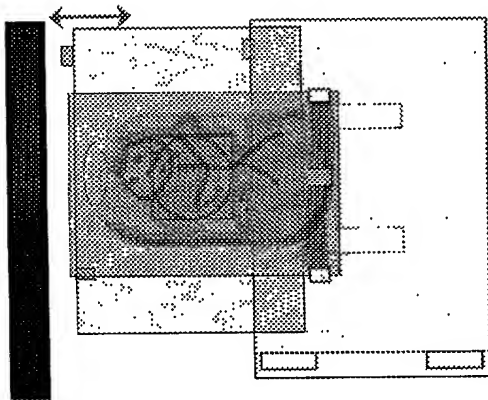


Fig. 14

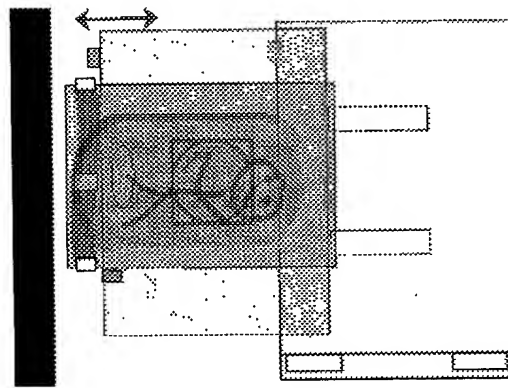


Fig. 15

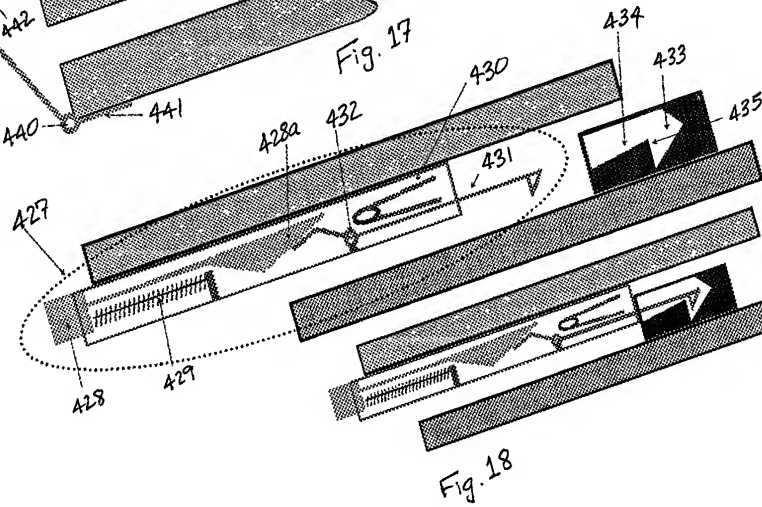
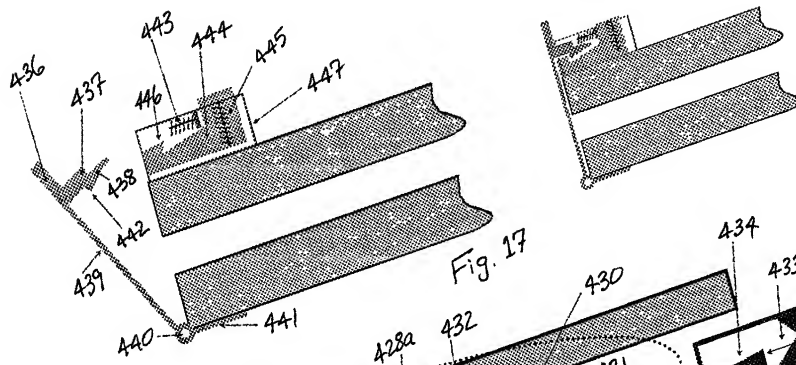
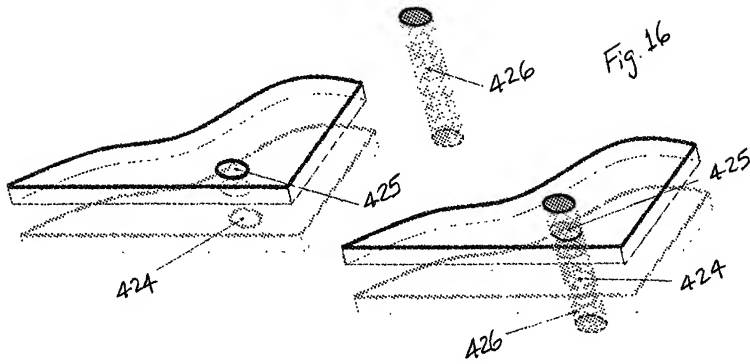


FIG. 19

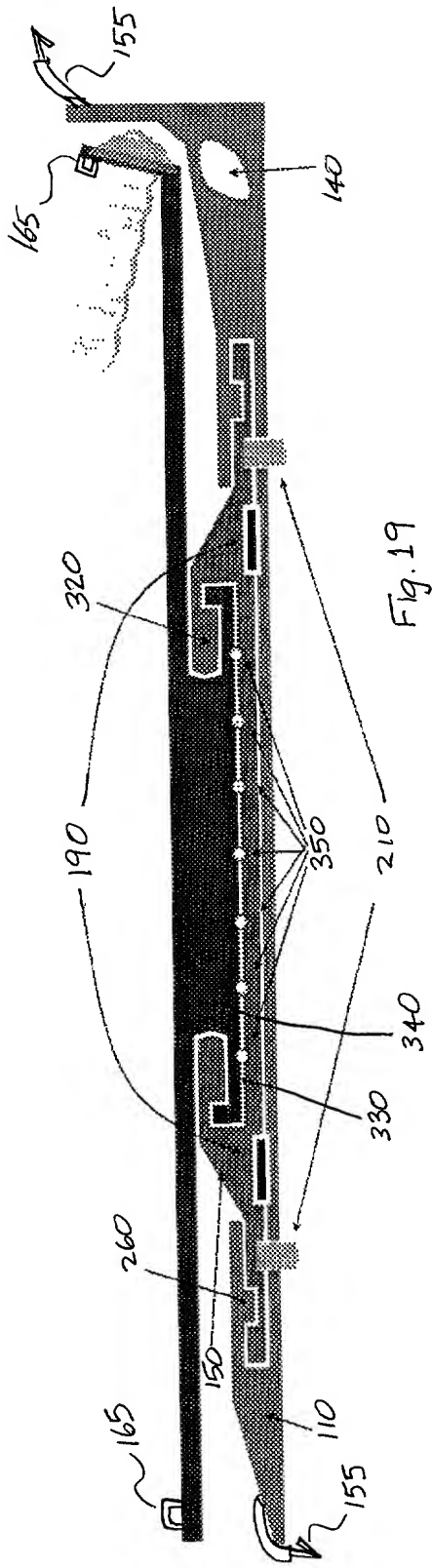


Fig. 19

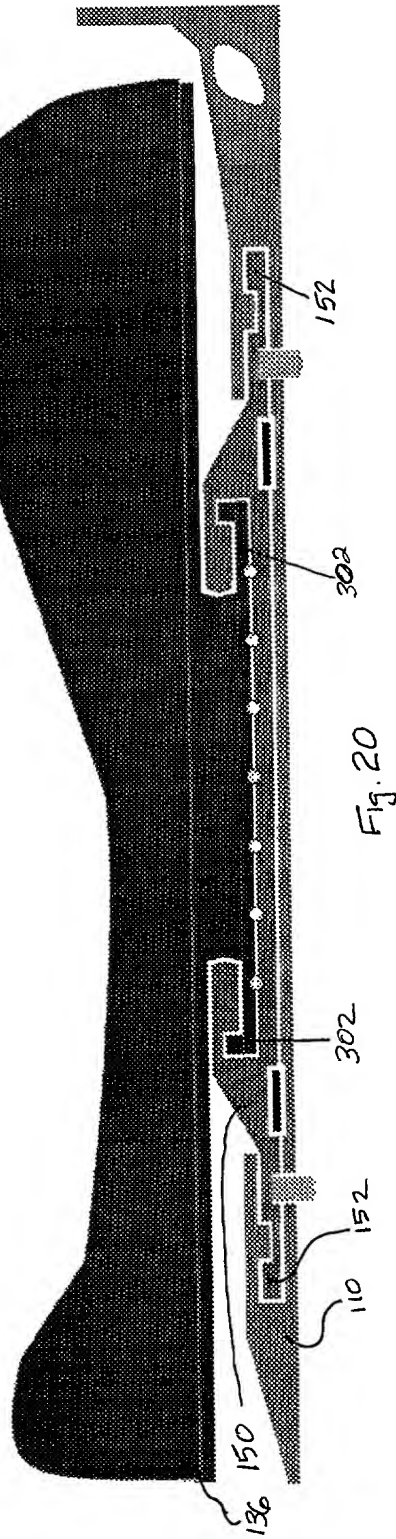


Fig. 20

FIG. 21

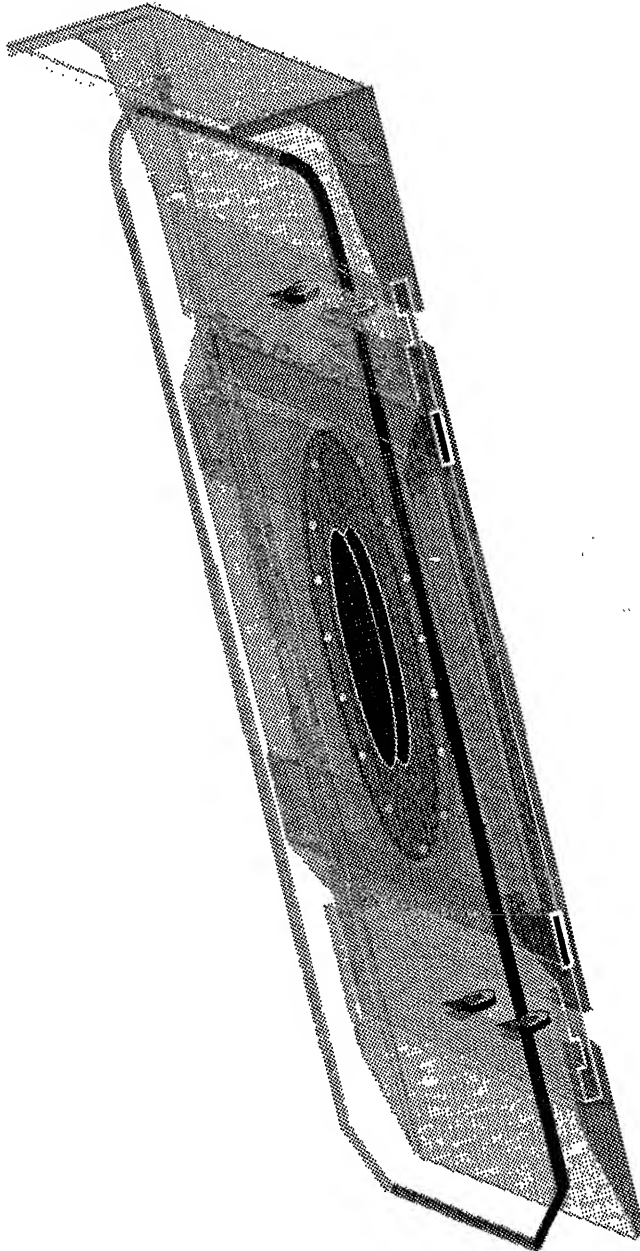


Fig. 21

20E010" E6h/E00T

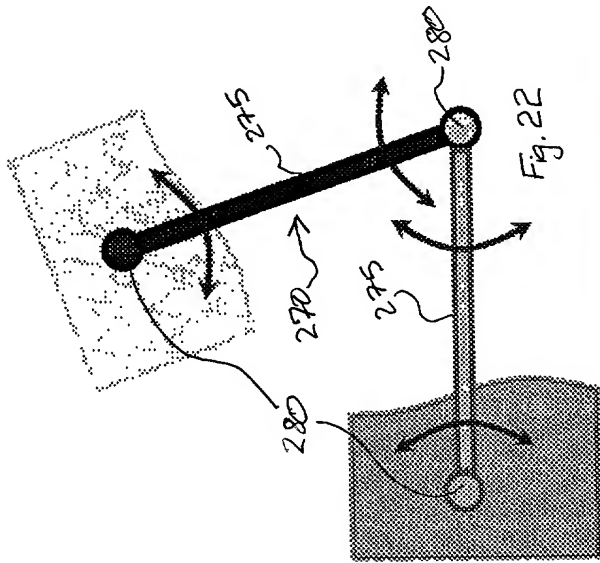


Fig. 22

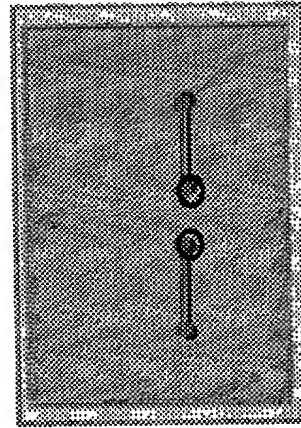


Fig. 23C

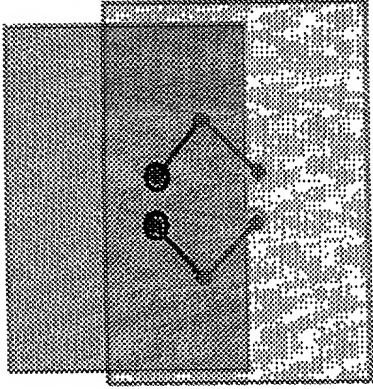


Fig. 23A

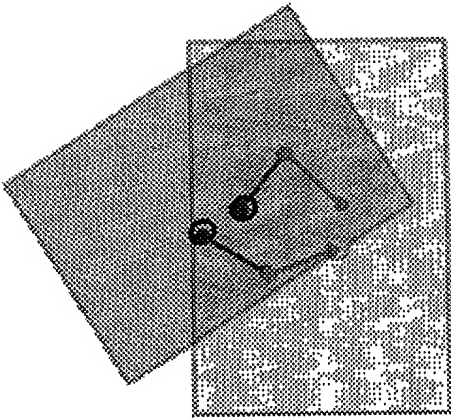


Fig. 23B

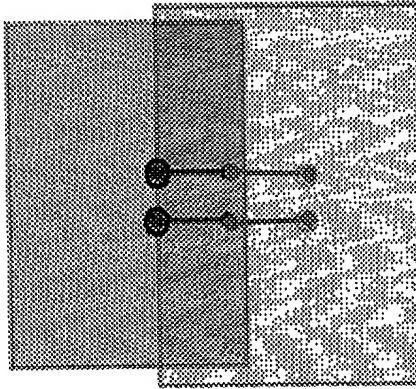


Fig. 23D

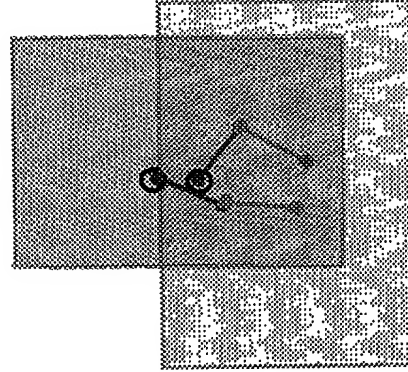


Fig. 23E

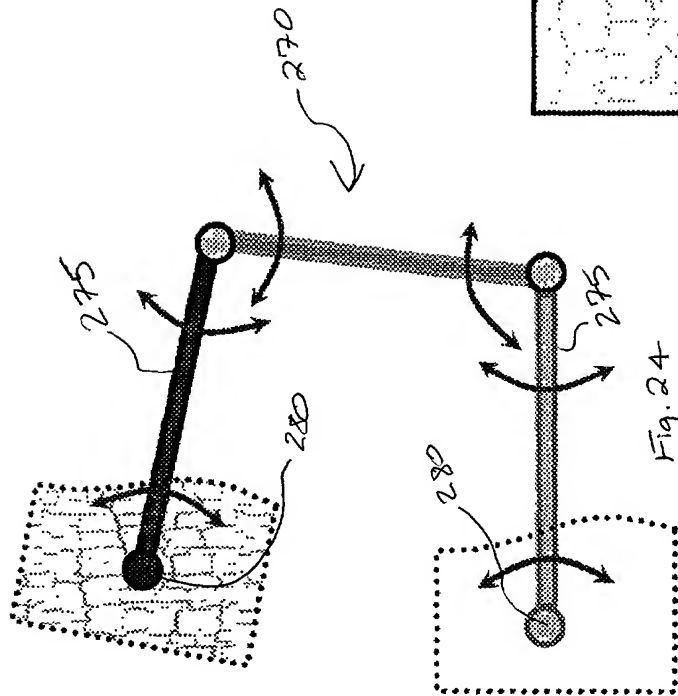


Fig. 24

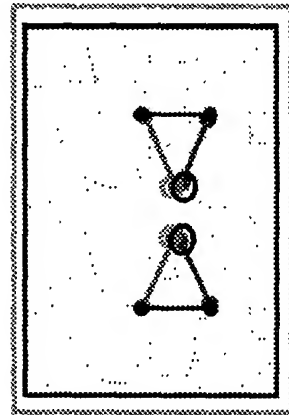


Fig. 25A

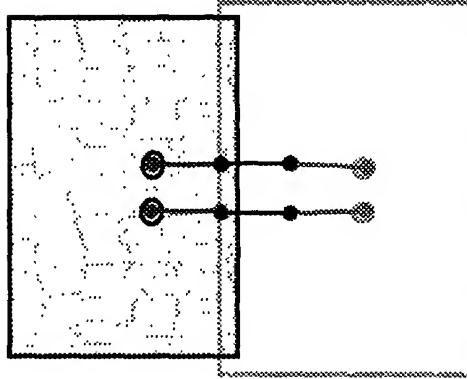


Fig. 25B

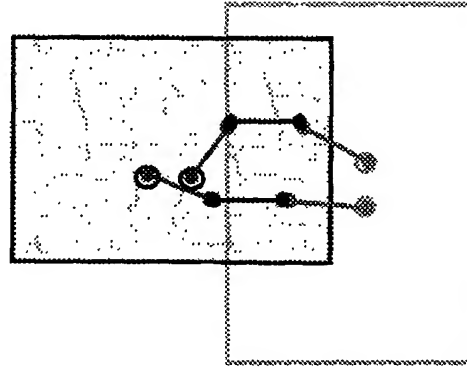


Fig. 25C

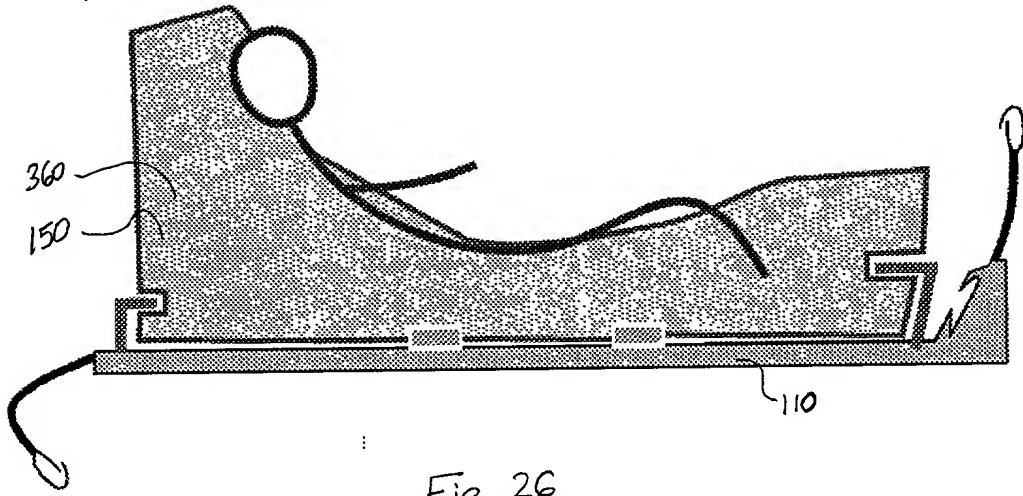


Fig. 26

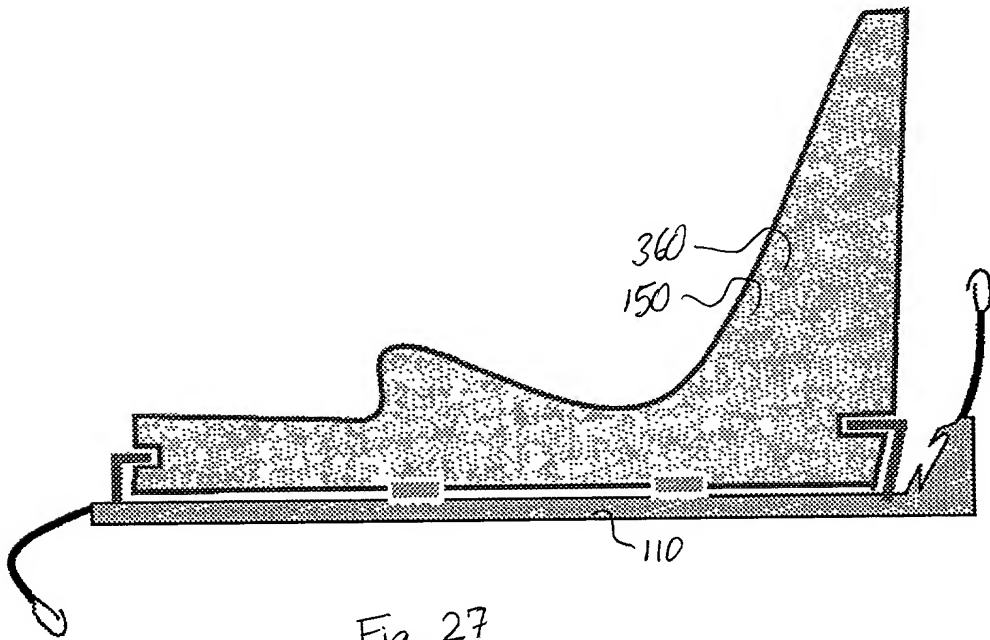


Fig. 27

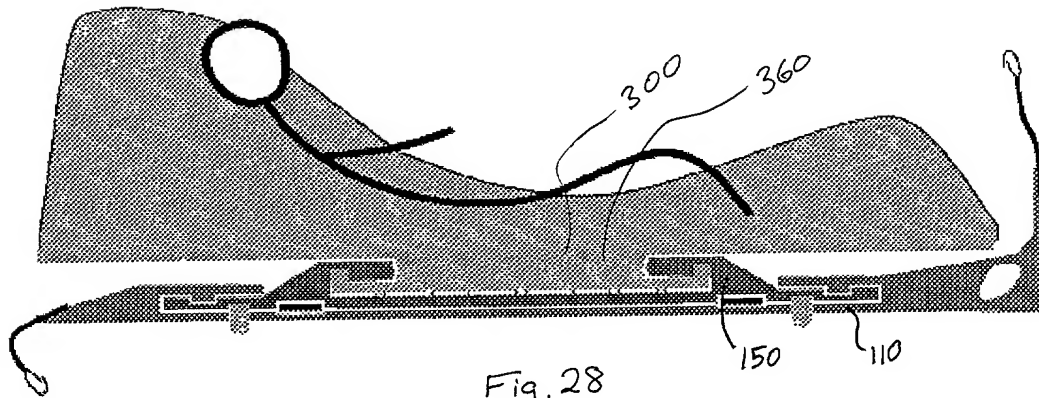


Fig. 28

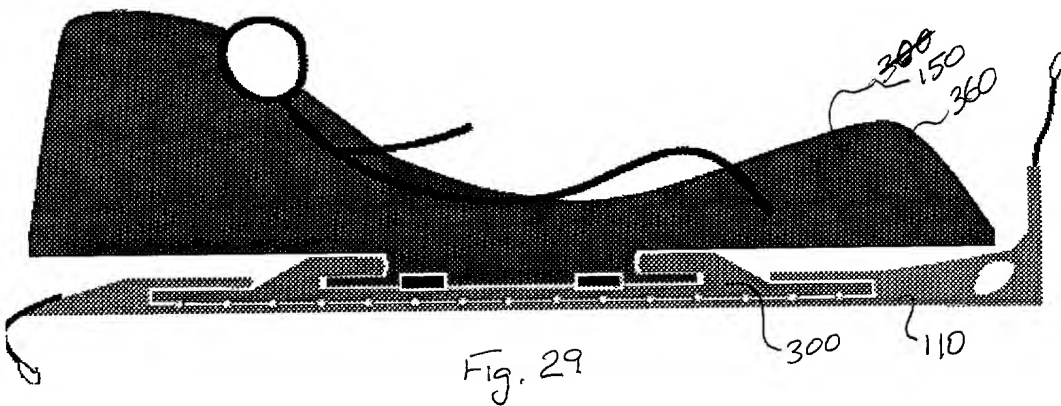


Fig. 29

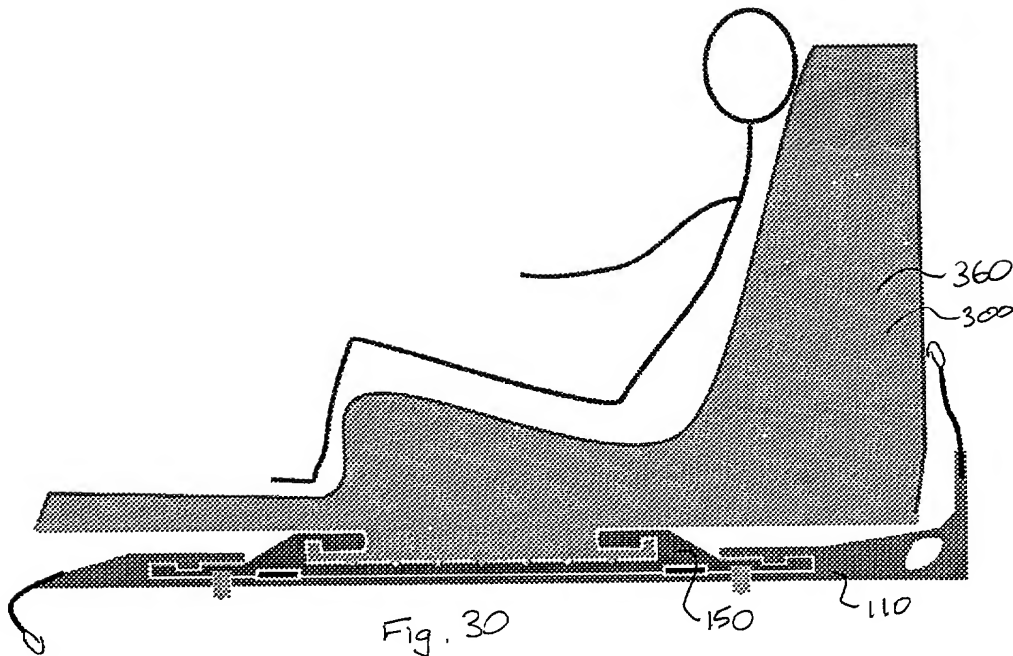


Fig. 30